

سیاوش مشق همدانی، فردون سلطان مرادی، محمد حسین مرستی، محمد تقی طینتی

مرکز تحقیقات هستدای
سازمان انرژی اتمی ایران

چکیده

در این مقاله روش‌های برش و سوراخکاری با لیزر، که برای اولین بار در ایران بصورت یک کاربرد صنعتی، مورد استفاده قرار گرفته است، بهمراه یک مدل تئوری ساده هست درک اصول فیزیکی زیربنایی این روشها ارائه شده است.

چگونگی استفاده از نتایج حاصل، در حل یک مسئله صنعتی مورد نیاز یکی از کارخانجات داخلی، مورد تجزیه و تحلیل قرار گرفته است. نتایج تجربی و محدودیت‌های روشها و وسائل موجود بررسی شده و ضمن نسبتگیری کلی، چگونگی رفع مشکلات جهت حصول به نتایج مطلوبتر در آینده نیز مورد مطالعه قرار گرفته است.

۱- مقدمه

گروه لیزر مرکز تحقیقات هستدای، در سالیان اخیر فعالیت‌های قابل توجهی در زمینه گسترش تکنولوژی لیزر در صنایع داخلی کشور داشته است. این فعالیت‌ها مولود مراجعات متعددیست که در رابطه با انجام برش و سوراخکاری با لیزر از طرف مراکز مختلف دولتی و خصوصی به این گروه شده است. در بسیاری از موارد یکه مورد بررسی قرار گرفته‌اند روش‌های متداول قادر به حصول دقیق نتایج در ابعاد میکروسکوپی نبوده و حل مسئله مورد نظر فقط بکمک تکنیک‌های اپتیکی و با استفاده از لیزر امکان‌بزیر است. مقاله حاضر حاصل پژوهش‌های نظری و آزمایشگاهی است که در این مورد صورت گرفته است. یکی از امتیازات نور لیزر نسبت بد نور عادی، همدوشی (Coherence) زمانی و فضایی آن می‌باشد. این خاصیت باعث می‌شود که بتوان پرتو موازی لیزر را به کمک

* آقای طینتی در طول مدت آزمایشات مربوط به این مقاله به صورت مأمور از گروه تحقیقات و گسترش وزارت دفاع، به مرکز تحقیقات هستدای منتقل و با این گروه همکاری داشته‌اند.

عدسی مناسبی در نقطه کانونی در حجمی به ابعاد طول موج نور لیزر متتمرکز نمود. شدت بدست آمده در شرایط مناسب قادر است درجه حرارت سطحی را که در نقطه کانونی قرار داده شده است، به مقدار قابل توجهی بالا ببرد و حتی به نقطه ذوب و تبخیر برساند. بدین ترتیب لحیم کاری، جوشکاری، سوراخکاری و برش انواع مواد در ابعاد میکروسکپی امکان پذیر می‌گردد. آخرین پیشرفتها در این تکنیک باعث شده است که بتوان مواد را با سرعتهای در حدود چند متر در ثانیه برش داد و جوشکاری و سوراخکاری قطعات را در چند هزار متر ثانیه و با دقت میکرونی بانجام رسانید.

البته باید خاطرنشان ساخت که این روش، یعنی استفاده از نور بعنوان یک چشم‌در حرارتی کار جدیدی نیست. ارشمیدس در قرن سوم قبل از میلاد، سعی کرد با استفاده از آینه‌های مقعر بزرگ نور خورشید را بروی کشتی‌های رومی که به آتن هجوم آورده بودند متتمرکز ساخته، آنها را به آتش بکشاند. همچنین همه می‌دانند که تمرکز نور خورشید بوسیله یک عدسی معمولی قادر است کاغذ یا کاه را در نقطه کانونی شعله‌ور سازد. اخیراً استفاده از انرژی خورشیدی توسط آئینه‌های بزرگ متتمرکز کننده، جهت گرم کردن آب و دیگر مصارف، مورد توجه بیشتری قرار گرفته است (۱). لکن آنچه که باید مورد توجه قرار بگیرد آن است که یک لامپ روشنایی بقدرت ۲۰۰ وات هرگز قادر نخواهد بود فلزی را ذوب کند. در حالیکه پرتو لیزر با همان قدرت ۲۰۰ وات به آسانی قادر به ذوب و برش صفحات فلزی می‌باشد. دلیل این تفاوت همانطور که گفته شد در قابلیت تمرکز نور لیزر در حجم کوچک می‌باشد که درنتیجه شدت در واحد سطح زیادی را موجب می‌گردد. برهم کنش نور و ماده و چگونگی تمرکز نور بوسیله یک عدسی از نظر تئوری در قسمت دوم مورد تجزیه و تحلیل قرار گرفتاد است. فرمولها و روابط حاکم بین مقادیر مورد نیاز مثل ضریب هدایت گرما، گرمای ویژه، چگالی جسم، قدرت، قطر پرتو لیزر و فاصله کانونی عدسی و چگونگی به حداقل رسانیدن ابیراهی (Aberration) اپتیکی در استفاده از عدسی در این قسمت ارائه شده‌اند. روش‌های تجربی که جهت حصول به نتایج مورد نظر عمل "مورد استفاده قرار گرفته‌است در قسمت سوم عرضه شده و در مورد اندازه سوراخها و برشها و همچنین کیفیت آن در سطح میکروسکپی، نظیر گردی سوراخها و صافی جدارها در مواد مختلف از فولاد سخت گرفته تا پلاستیک و شیشه و غیره به تفصیل توضیح داده شده است. در این قسمت همچنین یک مسئله صنعتی مورد نیاز یکی از کارخانجات داخلی که بوسیله تکنیک سوراخکاری با لیزر یاقوت حل شده و به نتیجه مطلوب رسیده نیز مورد تجزیه و تحلیل قرار گرفته است. در قسمت چهارم نتایج بدست آمده با تئوری مقایسه شده و از نظر کمی و کیفی بررسی شده‌اند. همچنین در این قسمت یک نتیجه‌گیری کلی از تکنیک‌های مورد بحث و کاربرد عملی آن و همچنین محدودیت روشها و دستگاه‌های موجود ارائه شده، در مورد چگونگی رفع نقاچیص و محدودیتها جهت حصول به نتایج مطلوب‌تر در آینده پیشنهادهای نیز ارائه شده است.

۲- تئوری

هنگامیک پرتو لیزر بروی سطح یک قطعه کار می‌تابد، قسمتی از آن منعکس شده و قسمت دیگری در سطح قطعه جذب می‌گردد. انرژی جذب شده سطح را گرم کرده درجه حرارت آن را به سرعت بالا می‌برد تا به نقطه ذوب برسد. چنانچه تابش پرتو لیزر ادامه یابد مواد مذاب تبخیر شده از سطح قطعه کار جدا می‌شوند. در نتیجه در نقطه تابش سوراخی بروی قطعه ایجاد می‌شود یا چنانچه نقطه تابش یا سطح کار حرکت داده شود برش بسیار طریقی ایجاد خواهد شد.

جکوگی ذوب مواد بدکمک پرتو لیزر به عوامل گوناگونی بستگی دارد. عنوان مثال سرعت انتقال گرما در ماده مورد نظر بستگی به ضریب هدایت گرمای (Coefficient of heat conductivity) دارد که با (K) نشان داده می‌شود. همچنین گرمای ویژه (C) جسم که سرعت تغییرات درجه حرارت را تعیین می‌کند یکی از عوامل بسیار مهم می‌باشد. در حقیقت سرعت گرم شدن جسم با مقدار گرمای ویژه (Heat Capacity) نسبت عکس دارد، و این مقدار مساویست با ρC که در آن ρ جکالی جسم است. بدین ترتیب می‌بینیم که عامل اصلی در تئوری مورد بحث مقدار $K/\rho C = k$ خواهد بود. K با واحد cm^2/sec واحد ضریب پخش (Diffusion) یا انتقال می‌باشد. بدینجهت مقدار فوق را ضریب انتقال حرارتی جسم (k) می‌نامند. ضریب انتقال حرارتی در کلیه مسائل مربوط بد حریان و تبادل گرما نقش مهمی را دارا است. این ضریب سرعت جذب و انتقال انرژی حرارتی را در جسم مورد نظر نشان می‌دهد. در جدول یک این ضریب برای برخی فلزات و آلیاژها داده شده است (۳۶) . باید توجه کرد که ضریب انتقال حرارتی آلیاژها غالباً از ضریب فلز اصلی آن کمتر است. فولاد ضد زنگ و آلیاژهای نیکل دارای ضرایب بسیار کوچکی هستند. این بدان معناست که نفوذ حرارت بداخل جسم مشکل می‌باشد و در نتیجه استفاده از لیزر در چنین فلزاتی برای لحیمکاری محدود است لیکن سوراخکاری در آنها بسیار انجام می‌گیرد. زیرا گرما پخش نشده جهت ایجاد سوراخ مصرف می‌گردد.

عمق نفوذ گرما در زمان بصورت تقریبی از فرمول :

$$X = 2\sqrt{kt} \quad 1$$

بدست می‌آید (۲) . در این رابطه t زمان تابش پرتو لیزر می‌باشد. عنوان مثال اگر ضربان لیزر ۹۰ نانو ثانیه طول داشته باشد (مقدار متوسط ضربان یک لیزر Q - سوئیچ) و ضریب انتقال حرارتی cm^2/sec ۲۵ باشد، عمق نفوذ فقط 3×10^{-4} سانتیمتر خواهد بود، در حوزه که برای ضربان لیزر معمولی بطول زمانی ۱۰۰ میکروثانیه عمق نفوذ در حدود ۱/۰ میلیمتر خواهد بود (بدین جهت است که عموماً " برای اینگونه کاربردهای صنعتی از لیزرهای - Q - سوئیچ استفاده نمی‌شود) .

در کاربرد لیزر در جوشکاری و لحیمکاری سعی در اینست که مقدار انرژی جذب شده

درجه حرارت جسم را در نقطه اتصال به نقطه ذوب برساند لیکن از آن تجاوز نکند. در این حالت چنانچه انرژی و قدرت لیزر یا طول زمانی آن به اندازه‌های باشد که درجه حرارت از نقطه ذوب تجاوز کند سطح جسم تبخیر شده و بجای جوش دادن ایجاد سوراخ خواهد کرد. باین دلیل است که در این کاربرد پارامترهای مختلف آزمایش از قبیل قدرت لیزر و ابعاد نقطه جوش و عمق آن و همچنین ضرایب هدایت و انتقال و چگالی اجسام باید بدقت در نظر گرفته شوند. بدین ترتیب مشاهده می‌شود، جهت کاربرد لیزر در جوشکاری، حداقل قدرت در واحد سطح باید از مقدار معینی تجاوز کند. عبارت دیگر چنانچه انرژی کل در ضربه لیزر زیاد باشد باید طول زمانی آن را افزایش داد تا قدرت در واحد سطح از مقدار مذکور تجاوز نکند.

در مدل تئوری که جهت پیش‌بینی چگونگی تغییر جسم از جامد به بخار در بررسی و سوراخکاری مورد نظر قرار می‌کشد، فرضیات اصلی زیر بکار گرفته می‌شود:

جدول ۱ - ضرایب انتقال حرارتی برخی فلزات و آلیاژها (ماخذ ۲ و ۳) بر حسب cm^2/sec

برگ	Pt	بلاس	بره	Al	آلومینیوم	برگ	برونز (۲۷۰ - ۲۰)
کاربرد	Si	سلیس	بره	Be	بریلیوم	بره	نیکل - برنز (۵% Sn)
۱۷۶	Ag	نفره	بره	Cr	کرم	بره	کبروسکل (۳۰% Ni)
۱۷۷	Ta	تالیوم	بره	Cu	س	بره	بریلیوم - مس (۲% Be)
۱۷۸	Sn	فلج	بره	Au	طللا	بره	ایکوتل (۷۶% Ni ، ۱۶% Cr ، ۸% Fe)
۱۷۹	Ti	ستافنوم	بره	Fe	آهن	بره	فولاد ضد زنگ نوع ۲۰۴ (۱۹% Cr ، ۱۰% Ni)
۱۸۰	W	شکستن	بره	Mo	مولیبدن	بره	فولاد ضد زنگ نوع ۲۰۳ (۱۹% Cr ، ۱۰% Ni)
۱۸۱	Zn	روی	بره	Ni	نیکل	بره	پالادیوم (Pd)

۱ - انرژی لیزر بصورت آنی در نقطه جذب تبدیل به گرما می‌شود. در حقیقت زمان متوسط این تبدیل در حدود $10-12$ تا $15-16$ ثانیه است. در این زمان برخورد الکترونهایی که فوتون لیزر را جذب کرده‌اند با الکترونهای دیگر و فونونهای شبکه بلوری باعث تحریک این شبکه می‌شود و در نتیجه انرژی نورانی به انرژی گرمائی تبدیل می‌گردد. از آنجا که کوتاه‌ترین طول ضربان لیزر $9-10$ ثانیه است، این فرض معقول و قابل قبول است. باین ترتیب نوعی تعادل حرارتی بین توان لحظه‌ای لیزر و مقدار لحظه‌ای گرما در طول زمان ضربان لیزر در جسم وجود دارد.

۲ - برخی از مشخصات جسم مورد نظر از قبیل ضریب هدایت، گرمائی ویژه و چگالی که در حقیقت تابعی از درجه حرارت هستند، ثابت فرض می‌شوند.

۳ - از حرارتی که بصورت انرژی تشعشعی از جسم ساطع می‌گردد در مقابل شدت لیزر (10^9 تا 10^{10} وات بر cm^2) صرفنظر می‌شود. زیرا این تشعشع بین $3-10^{-4}$ تا 10^{-5} برابر انرژی لیزر است.

۴ - عمق نفوذ حرارت در جسم نسبت به قطر پرتو لیزر کوچک فرض می شود. بدین ترتیب گرمائی که درجهٔت موازی با سطح جسم از دست می رود قابل اغماض بوده و می توان مسئله را نقطه در یک بعد (عمود بر سطح جسم) مورد توجه قرار داد.

۵ - شد پرتو لیزر در نقاط سطح مقطع آن و همچنین در زمان ثابت است. بدین ترتیب حرارتی که بجسم داده می شود، نیز در فضا و زمان ثابت خواهد بود. همچنین فرض می شود که این شدت جهت تبخیر جسم کافیست.

۶ - بخار بوجود آمده انرژی لیزر را جذب نمی کند.

با توجه به مرضیات فوق می توان پدیده سوراخکاری و برش با لیزر را بوسیله مدل فیزیکی زیر از نظر تئوری مورد تجزیه و تحلیل قرار داد (۳).

پرتو لیزر در نقطه $x=0$ بد صورت عمود بر سطح جسم به آن می تابد. آغاز این تابش را در لحظه $t=0$ فرض می کنیم. در هر لحظه $t > 0$ یک صفحه در نقطه $x=z(t)$ وجود دارد که منطبق بخار را از منطقه جامد جدا می کند. این سطح بسم داخل جسم در حرکت می باشد. شکل ۱ مشخصات هندسی مدل مورد نظر را نشان می دهد.

چنانچه یک ورقه نازک dx از سطح جسم را مورد توجه قرار دهیم، بطوریکه پس از گذشت زمان dt کل آن در اثر جذب انرژی لیزر به صورت بخار درآمده باشد، می توان با انتکاء بد اصل بقای انرژی سرعت پیشرفت سطح جسم را بسوی داخل حساب کرد.

لاید مورد نظر (باجرم dm) باید اول از درجه حرارت اولیه T_i به درجه حرارت تبخیر T_v رسانیده شود و سپس با تامین گرمای تبخیر (L_v) بد صورت بخار درآید:

$$dE = dm \left[C(T_v - T_i) + L_v \right] \quad 2$$

این انرژی باید بوسیله لیزر تامین شود:

$$dE = I \Lambda dt \quad 3$$

در این رابطه I شدت پرتوی لیزر بر واحد سطح و Λ سطح مقطع پرتوی لیزر می باشد. از آنجا که $dm = \rho dV = \rho A dx$ که در آن ρ چگالی جسم می باشد تساوی ۲ و ۳ سرعت پیشرفت را مشخص می کند:

$$I \Lambda dt = \rho A dx \left[C(T_v - T_i) + L_v \right] \quad 4$$

از این رابطه سرعت پیشرفت یعنی dz/dt مشخص می شود.

$$\frac{dz}{dt} = \frac{dx}{dt} = \frac{I}{\rho(L_V + C T_V)} \quad 5$$

که در آن از درجه حرارت محیط در برابر درجه حرارت تبخیر صرفنظر شده است: $T_i \gg T_v$
 (دراستفاده از فرمول فوق باید توجه داشت که L_v و C معمولاً "برحسب کالری برگم
 داده می‌شوند در حالیکه I برحسب زول برثایید برسانسیتمترمربع است و ضربه
 ۱ کالری - ۴/۱۸ زول باید درنظر گرفته شود) بدین ترتیب عمق سوراخ از رابطه زیر
 بدست می‌آید:

$$d = \frac{dz}{dt} \cdot T \quad 6$$

که در آن T طول زمانی ضربه لیزر است. در حالت کلی که I ثابت نیست بلکه بصورت (t) می‌باشد. اگر فرض شود که سرعت پیشرفت سطح $x=z$ در هر لحظه خود را با مقدار داده شده در رابطه ۵ تطبیق می‌دهد آنگاه می‌توان عمق سوراخ را بصورت زیر محاسبه کرد:

$$d = \int_0^{\infty} \frac{dz}{dt} dt = \frac{1}{\rho(L_V + C T_V)} \int_0^{\infty} I(t) dt \quad 7$$

در جدول دوم عمق تئوری و اندازه‌گیری عملی عمق سوراخها بوجود آمده (۳)، برای فلزات مختلف با پرتوی لیزر نئودیمیوم Q - سوئیچ به قدرت $7/4 \times 10^8 W/cm^2$ و طول زمانی حدود ۲۰۰ نانو ثانیه مقایسه شده است. چنانچه مشاهده می‌شود، نتایج اندازه‌گیری عملی بین ۱۰ تا ۵۰ درصد از پیش‌بینی تئوری که از رابطه ۷ بدست آمده است کمتر می‌باشد. دلیل این تفاوت در اینست که مدل فوق حرارت از دست رفته بوسیله جداره سوراخ را درنظر نمی‌گیرد. همچنین مقداری از انرژی لیزر از سطح فلز منعکس می‌گردد.

جدول ۲ - مقایسه عمق سوراخها از نظر تئوری رابطه ۷ و عملی ماءخذ (۳).

نوع فلز	تئوری (میکرون)	عملی (میکرون)
Cu	۲۱/۴	۱۶
Al	۳۱/۲	۲۰
W	۱۲/۴	۱۰
Pt	۱۶/۹	۹
Ni	۱۶/۰	۱۴
Si	۲۷/۴	۲۶

اکنون که اندازه عمق سوراخ را از نظر تئوری بدست آوردیم لازم است نکاتی را در مورد فطر سوراخ نیز مورد توجه قرار دهیم . برای پرتو لیزری با مد TEM_{00} با سطح مقطع گوسی (Gaussian) شدت نور در جهت عمود بر محور پرتو روی آینه خروجی لیزر که در اینجا مسطح فرض می شود به صورت زیر می باشد (۴ و ۳) .

$$I(r) = I_0 \exp \left[-2 \left(\frac{r}{w} \right)^2 \right] \quad 8$$

در رابطه بالا w شعاع پرتو لیزر و r فاصله از محور است . در این صورت زاویه واگرایی پرتو (angular beam divergence) با رابطه

$$\theta = \frac{\lambda}{\pi w} \quad 9$$

محاسبه می کردد (۴) . اکنون اگر یک عدسی همگرا با فاصله کانونی f بفاصله d از آینه سطح خروجی قرار دهیم ، شعاع پرتو مینیموم (Waist) بعد از عدسی با شعاع پرتو حداقل لیزر (در اینجا w) با رابطه زیر قابل محاسبه می گردد (۳) .

$$\frac{1}{w_1^2} = \frac{1}{w^2} \left(1 - \frac{d}{f} \right)^2 + \frac{1}{(f\theta)^2} \quad 10$$

که w_1 شعاع پرتو حداقل بعد از عدسی می باشد . در رابطه ۱۰ نظر بدانید که جمله اول سمت مقدمه دوم خیلی کوچک است بنابراین شعاع پرتو حداقل بعد از عدسی با تقریب سار ساسی هموارد از رابطه زیر محاسبه می گردد .

$$w_1 = f\theta \quad 11$$

و با نظر برخواه در سقط کانونی با رابطه زیر محاسبه می شود .

$$a = 2w_1 = 2f\theta = 2f \frac{\lambda}{\pi w} \quad 12$$

نوجد داریم که رجای ۹ از رابطه ۹ استفاده گردید . در صورتیکه لیزر در مد TEM_{00} ساد سطح منطق آن بسکل گوسی بوده و زاویه واگرایی آن بیشتر از مقدار داده شده مد رابطه ۹ می باشد ، لیکن در این مورد نیز هموارد رابطه ۱۱ صادق است و می توان زاویه واگرایی را عمل " اندازه گرفت . از رابطه ۱۲ می توان نتیجه گرفت که :

اولاً " برای طول موج λ ، قطر نقطه کانونی با کم کردن f/w و یا f-number عدسی کم می شود .

ثانیاً " نقطه کانونی برای طول موجهای کوچکتر کمتر است . در عمل تغییر شاعع پرتو لیزر غیرممکن است زیرا این شاعع توسط ابعاد هندسی و مسخنای دستگاه لیزر تعیین می شود . لیکن قبل از برخورد به عدسی مرکز کشیده، می توان با استفاده از دو عدسی دیگر که بصورت تلسکوپ سوار شده باشد (یعنی فاصله بین آنها مساوی مجموع جبری فواصل کانونی باشد) شاعع پرتو را با داده سبب بین دو فاصله کانونی زیاد کرد :

$$w' = \frac{f_2}{f_1} w \quad 13$$

در رابطه بالا w' شاعع پرتو حداقل بعد از تلسکوپ بوده که چون $f_2 > f_1$ اس مقدار آن همواره بزرگتر از شاعع پرتو خروجی لیزر می باشد . اکنون اگر زاویه واگرایی برخوراند از تلسکوپ بخواهیم محاسبه کنیم بدآسانی با توجه با رابطه ۹ می توان نوش کد :

$$(1) = \frac{\lambda}{\pi w} - \frac{f_1}{f_2} \quad 14$$

یعنی زاویه واگرایی بد اندازه معکوس بزرگنمائی تلسکوپ کوچک خواهد شد . درنتیجه قطر نقطه کانونی نیز در مرکز با عدسی با فاصله کانونی f بهمان نسبت کوچک می کردد . یکی دیگر از مقادیری که از نظر تئوری باید به آن توجه داشت عمق مرکز (Depth of Focus) می باشد . عمق مرکز در اینتیک بد فاصله بین دو نقطه در طرفین کانون عدسی اطلاق می شود که در آن تصویر وضوح خود را حفظ می کند . در برخ و سوراخکاری مقدار عمق مرکز از آنجهت حائز اهمیت است که موادی بودن دولبد برخ یا استوانهای بودن سوراخ را تعیین می کند . چنانچه عمق مرکز در اینکوب کاربردها را باین ترتیب تعریف کنیم که فاصلهایست که در آن قطر نقطه کانونی باندازه ۵٪ بیشتر می شود می توان مقدار آن را از رابطه زیر بدست آورد (۳۰۵) .

$$Z = \pm \frac{0.081 a^2}{\lambda} \approx 0.6 a^2 / \lambda \quad 15$$

چنانچه مشاهده می شود عمق مرکز با توان دوم قطر فقط کانونی نسبت مستقیم دارد . با این ترتیب جهت دستیابی به یک نقطه کانونی کوچک و در نتیجه شدت بر واحد سطح بیشتر ، اختیار یک عمق مرکز کمتر الزامیست . عکس چنانچه جهت دستیابی به سوراخهای

استوانهای یا برش موازی احتیاج به عمق تمرکز بیشتری باشد (در حدود ضخامت قطعه مورد نظر) باید قطر نقطه کانونی و در نتیجه شدت بر واحد سطح کمتری را اختیار نمود. این روابط در شکل دو نشان داده شده است (۶).

آخرین مسئلهای که از نظر تئوری بدآن می‌پردازیم مسئله ابیراهی اپتیکی (Optical Aberration) است که توسط عدسی متمرکز کننده در شکل هندسی نقطه کانونی ایجاد می‌شود. در اینجا تنها ابیراهی کروی (Spherical Aberration) را باید درنظر گرفت زیرا سایر ابیراهیها نظیر استیگماتیسم (Astigmatism) و کوما (Coma) همواره کوچکتر از آن می‌باشند. همچنین ابیراهی رنگی (Chromatic) در این مورد وجود ندارد زیرا نور لیزر تکفام می‌باشد.

بطورکلی ابیراهی کروی به شاع اندی دو سطح عدسی بستگی داشته و توسط سازه‌شکلی (Shape Factor) که با رابطه:

$$q = \frac{R_1 + R_2}{R_2 - R_1} \quad 16$$

تعریف می‌گردد بدهست می‌آید. در نتیجه جهت به حداقل رسانیدن آن عدسی موردنظر باید بشکل خاصی طراحی شود. بطورکلی می‌توان گفت که استفاده از یک عدسی همگرا با یک سطح مسطح و یک سطح کوز (Convex) بصورتیکه طرف کوز آن بسوی پرتوی لیزر باشد ($q = +1$) در اکثر موارد قابل قبول خواهد بود (۷). در حالت کلی، ابیراهی زمانی بد حداقل می‌رسد که رابطه زیر صادق باشد (۵).

$$\frac{R_2}{R_1} = \frac{2n^2 + n}{2n^2 - n - 4} \quad 17$$

که در آن n ضریب شکست عدسی در طول موج مورد نظر می‌باشد. برای $n < 1/69$ مقدار فوق منفی است و عدسی مورد نظر دارای دو سطح کوز است لکن برای $n > 1/69$ (بعنوان مثال عدسی ژرمانیوم که در طول موج لیزر گازکربنیک $\lambda = 10/6$ میکرون دارای $n = 4$ می‌باشد) مقدار فوق مثبت شده عدسی مورد نظر بصورت هلالی (Meniscus) یعنی با یک سطح کاو (Concave) و یک سطح کور خواهد بود. البته باید در نظرداشت که شکل عدسی با فاصله کانونی آن نیز در رابطه است. زیرا R_1 و R_2 فاصله کانونی را از طریق فرمول عدسی گوسی:

$$\frac{1}{f} = (n-1) \left(\frac{1}{R_1} - \frac{1}{R_2} \right) \quad 18$$

تبيين می‌نمایند. در نتیجه عدسی مورد نظر باید با در نظر گرفتن کلیه شرایط بالا

صورت همزمان انتخاب شود.

۳- روش کسار

در این آزمایش از چهار نوع مختلف لیزر جهت برش و سوراخکاری استفاده شده است :

۱- لیزر گاز کربنیک با پرتو مداوم بقدرت ۱۰۰ وات : این لیزر که انحصاراً "جهتانجام" برش توسط این گروه طرح و ساخته شده است، از نوع مداوم با تخلیه الکتریکی طولی می باشد. جزئیات طرح و ساختمان آن در مقاله دیگری خواهد آمد. پرتوی خروجی آن بقدرت ۱۰۰ وات و قطر ۱ سانتیمتر توسط یک عدسی ژرمانیم هلالی بفاصله کانونی ۲۵ میلیمتر بروی سطح کار مرکز می گردد. بد کمک یک موتور الکتریکی با سرعت دورانی قابل تنظیم و سیستم مکانیکی مربوطه که حرکت دورانی را به انتقالی تبدیل می کند سطح کار با سرعت مناسب برش داده می شود. طول کل این لیزر ۳ متر می باشد.

۲- لیزر کازکربنیک ضربانی . این لیزر نیز که در همین کروه طرح و ساخته شده است از نوع ضربانی با تخلیه عرضی در فشار یک اتمسفر می باشد.

(Transverse Excited Atmospheric = TEA) پرتو خروجی آن بقطر ۳ سانتیمتر و انرژی کل در هر ضربه ۴ ژول است که در ضربانی بطول زمانی یک میکروثانید ساطع می گردد. این دستگاه قادر است ۲۰ ضربه در دقیقه ارائه دهد و طول آن ۱۶۵ سانتیمتر است.

۳- لیزر نئودیمیوم - یاک . (YAG - Neodimium) . ماده فعال این لیزر یک کریستال استوانه ای نئودیمیوم یاک است که در یکی از کانونهای یک محفظه بیضی شکل قرار دارد. در کانون دیگر یک لامپ فلاش از نوع خطی قرار دارد که با ولتاژ ۱۰۰۰ ولت تا ۱۰ بار در ثانید تحریک می گردد. انرژی خروجی هر ضربان در حدود ۰/۲ ژول است. طول این لیزر از ۳۰ سانتیمتر تجاوز نمی کند. این لیزر نیم تجاری بوده که با ایجاد تغییراتی بروی آن جهت تحقیق حاضر مورد استفاده قرار گرفته است.

۴- لیزر یاقوب . در این لیزر تجاری ماده فعال از یک بلور استوانه ای یاقوب مصنوعی ساخته شده است. این لیزر قادر است ضربانی با انرژی ۱ ژول با تواتر ۴ بار در دقیقه ارائه دهد. طول این لیزر نیز در حدود ۵۰ سانتیمتر است و توسط یک فلاش مارپیچی که بد دور کریستال یاقوب قرار دارد با ولتاژ ۴۰۰۰ ولت تحریک می گردد.

سکل ۲ این چهار نوع لیزر و محدودی از خروجی هر کدام را نشان می دهد. سکم لیزرهای فوق آزمایشها متعددی در شرایط مختلف عملی انجام گرفت که مهمترین آنها شرح زیر می باشد :

۱- آزمایش با لیزر کازکربنیک مداوم
در این آزمایشها ابتدا اثرات مستقیم اشعد لیزر بقدر ۶ وات بروی کاغذ و چوب و ورقه

پلکسی گلاس و آجر سوز مورد بررسی قرار گرفت. کلیه این مواد حتی در این قدرت پائین و بدون استفاده از عدی متراکز کنده ذوب یا تبخیر یا برش داده می شوند. در پلکسی گلاس بد ضحامت ۱ سانتیمتر اشعد لیزر در زمانی بطول نظری ۵ ثانیه سوراخی مخروط شکل ایجاد کرده از سمت مقابل خارج می شود. قاعده مخروط در جهت تابش پرنو و بقطر ۱ سانتیمتر و راس آن در حیث مقابل و بقطر ۱ میلیمتر است. مخروطی بودن سوراخ نشان می دهد که نوزیع ابری در سطح مقطع اشعد لیزر بحورت تابع گوسی (Gaussian) می باشد زیرا شد پرتو در مرکز بیشتر بوده در نتیجه سرعت پیشرفت نقطه مرکزی بیشتر می باشد و سوراخ را به شکل تیف در می آورد.

با استفاده از یک عدی با آئینه متراکز کنده اثرات پرتو مورد نظر بروی میباشد. محلف مورد بررسی قرار گرفت. در مورد فلزاتی چون مس، آلومینیوم، قلع و سرب اثر حدایی مشاهده شد زیرا ضریب بازتاب نور لیزر بطول موج $10/6$ میکرون در این فلزات سیار زیاد بوده ابری کمی در سطح فلز جذب می شود. اثر گرمائی پرتوی منعکس شده از سطح کار در این موارد بسیار محسوس بوده قادر است حتی چوب یا کاغذ را بسوزاند. بدست چیز استفاده از عکسکهای مخصوص جهت حفاظت در برابر پرتوی انعکاسی الزامیست و باید نوجد کرد که این پرتو بروی لباس آزمایشکران نتابد زیرا در غیر اینصورت بسرعت آنرا سوراخ کرده با می سوزاند.

در مورد آزمایش با قلع مشاهده شد که چنانچه نقطه نابش با مقدار کمی کربن با دوده بوتابنیده شود سطح کار شروع بد سوختن کرده ولی پس از مدت زمانی متوقف می شود. این بدیده نمودار استفاده از ابری شیمیایی سوخت کربن می باشد بدین ترتیب که ابری لیزر باعث راکتادازی واکنش شیمیایی $C + O \rightarrow CO$ شده ابری بدست آمد بد برخوبی لیزر حیث ذوب فلز مورد نظر کمک می کند. از این بدیده در برش فلزات مختلف با لیزر بکمک کاز اکسیژن استفاده می شود. بدین ترتیب که ضمن تمرکز دادن پرتوی لیزر برخوبی سطح کار کاز اکسیژن سزا همان جهت عدی با سرعت زیاد بروی سطح کار متراکز می شود. در بسیاری از آلیارهای سامل مقدار کمی کربن با فلزاتی مثل تیتانیوم این بدیده برش را بمقدار قابل سوجهی تسهیل می نماید. در آزمایش دیگری با استفاده از دو آسد مسی که اولی واکرا با فاصله کاوسی ۱۵ سانتیمتر (ساعانه ۳۰ سانتیمتر) و دویی همکرا با فاصله کاوسی ۴۵ سانتیمتر (ساعانه ۹۰ سانتیمتر) بوده و بفاصله ۴۵ سانتیمتر از یکدیگر فرار داشتند، قطر اشعد لیزر از یک سانتیمتر به ۳ سانتیمتر رسانیده شد و سپس با استفاده از یک آئینه مفتر دیگر اشعد بروی سطح کار تمرکز داده شد. در این شرایط مشاهده شد که شد برو واحد سطح بروی سطح کار مطابق با رابطه (13) بد چند برابر افزایش یافته است و در نقطه کاوسی می توان بد سهولت قلع را بضخامت چند میلیمتر و سرب را بد ضحامت ۲ ره میلیمتر و آلومینیوم را بد ضخامت ۱۵ ره میلیمتر

سوراخ و برش داد.

جهت ادامه این آزمایشها در سطح انرژی بالاتر دو لیزر گازکربنیک دیگر اولی با قدرت مداوم حدود ۴۰ وات و دومی با قدرت حدود ۱۰۵ وات ساخته و مورد آزمایش قرار گرفت. در این آزمایشها متوجه شدیم که آئیندهای لیزر در این سطح توان بالا پس از مدت بسیار کوتاهی در اثر جذب درصد کمی از انرژی داخلی لیزر بسرعت گرم شده توازی بین خود و عمود بودن بر محور لیزر را از دست می‌دهند. بدین ترتیب انرژی خروجی لیزر هر بار پس از تنظیم مجدد آئیندها از حداقل شروع شده در مدت ۵ الی ۱۰ دقیقه بد صفر می‌رسید. باید توجه کرد که ضریب جذب آئیندها (در این مورد یک آئینه با ضریب انعکاس ۱۰۵٪ از جنس پیرکس با پوشش طلا و یک آئینه با ضریب انعکاس ۷۵٪ از جنس ژرمانیوم) در اثر بالا رفتن درجه حرارت افزایش می‌یابد و بدین ترتیب مقدار بیشتری انرژی جذب می‌شود و درجه حرارت بالاتر می‌رود و چنانچه این پدیده زنجیره‌ای ادامه یابد آئینه بسرعت خراب شده از بین می‌رود. درنتیجه لازم است درجه حرارت آئیندها در یک حد معین ثابت نگهداشته شود. به این جهت یک سیستم خنک کننده طرح و ساخته شد که با گردش آب در اطراف آئینه و جذب و انتقال انرژی حرارتی بخارج از خراب شدن آئیند حلوگیری کند. سیستم خنک کننده مشابهی نیز برای عدسی ژرمانیم که جهت تمرکز اشعه بروی سطح کار مورد استفاده قرار می‌گیرد ساخته شد. در مرحله دوم این سیستم خنک کننده بد یک دماغه قیقی جهت استفاده همزمان از کاز اکسیژن و دیکر گازها ضمن برش مجهز شد. بكمک این دستگاه مواد مختلف اعم از آلی و معدنی و فلزی با سرعتهای مختلف برش داده شد. قطر نقطه کانونی ۱۰ میلیمتر و قدرت بر واحد سطح بدست آمده ۱۵ وات بر سانتیمترمربع می‌باشد. در جدول ۳ نتایج بدست آمده نشان داده شده است. برش فلزاتی چون آلومینیم، برق و مس بدلیل ضریب انعکاس زیاد این فلزات مقدور نگشت. آزمایشاتی نیز در زمینه جوشکاری با این لیزر انجام شد که بدلیل قدرت کم و اکسیده شدن منطقه جوش نتایج رضایت بخش نبود. ولی نتایج برشکاری بطور کلی نشان می‌دهد که برش کربن و فولاد کم آلیاژ و انواع آلیاژهای تیتانیم با سرعت زیاد و به سهولت انجام پذیر می‌باشد در حالیکه برش فولاد ضد زنگ و آلیاژهای نیکل تا اندازه‌ای مشکلتر و کندتر است.

۲-۲ سوراخکاری با لیزرهای ضربانی

چنانچه قبل "متذکر شدیم، از سه نوع مختلف لیزرهای ضربانی گازکربنیک، نئودیمیوم و یا قوتی جهت آزمایشهای سوراخکاری استفاده شده است. از این میان لیزر گازکربنیک دارای انرژی بیشتری می‌باشد. لیکن گرانی گاز هلیوم که حدود ۸۵٪ مصرف گاز این لیزر را تشکیل می‌دهد باعث شد که استفاده از آن در تحقیقات مربوط به سوراخکاری به صورت

محدودتری انجام گیرد. نکته دیگری که در این رابطه باید در نظر گرفته شود اینست که قدرت زیاد این لیزر باعث می‌شود که پرتو لیزر پس از برخورد با عدسی به هنگام تمرکز بروی قطعه کار و قبل از رسیدن به سطح آن هوا را بونیزه کرده و ایجاد پلاسماید، این

نوع گاز کمکی	سرعت (سانتیمتر بر ثانیه)	ضخامت (ملیمتر)	نوع نمونه
ازت-اکسیژن-هليوم	۱	۲۵	چوب-پلاستیک-پلکسی-لاس
ازت-اکسیژن-هليوم	۳	۱	ششه-کوارتز-سرامیک
اکسیژن	۵	۰۵۲۵	تیتانیوم (بدون تمرکز-با عدسی)
اکسیژن	۱۰۰	۵	انواع فلزات
اکسیژن	۳۵	۱	فولاد ضد زنگ

جدول ۳ - نمونه‌های برش مواد بكمک لیزر گاز کربنیک بقدرت ۱۰۰ وات با تمرکز بوسیله عدسی ژرمانیوم

پلاسماید خود پرتوی لیزر را جذب کرده مانع از اصابت آن به سطح هدف و در نتیجه ایجاد سوراخ می‌شود. بدین جهت است که استفاده از این لیزر در سوراخکاری ملزم استفاده از محفظ خلا، جهت قطعه کار و عدسی می‌باشد تا شدت پرتو نتواند در هوا ایجاد پلاسماید و این خود محدودیت دیگریست که استفاده از این لیزر را مشکل می‌سازد. لیزر نئودیمیوم - یاک نیز که در برخی از این آزمایشها از آن استفاده شده است با وجود مزایای قابل توجه نظیر تواتر زیاد (تا ۱۵ بار در ثانیه) و حجم کم، بخاطر در دسترس نبودن آثیندهای مناسب دارای زاویه واگرایی زیاد از یکسو و ناهمگنی شدت اپتیکی در سطح مقطع از سوی دیگر می‌باشد. این دو عامل باعث می‌شود که سوراخ ایجاد شده کاملاً "دایرداي نسوده و کیفیت آن در سطح مطلوب نباشد. بدین جهت در اکثر موارد موردنی بحث در این مقاله از لیزر با قوتی استفاده شده است. این لیزر دارای پرتوی بسیار همگن و قدرت متوسط یک ژول در هر ضربه با تواتر چهار بار در دقیقه می‌باشد که جهت آزمایش‌های تحقیقاتی مناسب، لکن برای کاربردهای صنعتی بسیار کند می‌باشد..

در جدول ۴ انواع نمونه‌های سوراخ شده با لیزر نئودیمیوم داده شده است:

تعداد ضربان لیزر	ضخامت (میلیمتر)	مشخصات نمونه
۰	۱۵	واشر فلزی
۱	۰۵	تبغ فولادی
۲	۱	واشر فلزی
۲	۱	سیم فلزی
۱۵	۳	پلاکسی گلاس
۱	۱	سکه یک ریالی
۲	۱۲۵	واشر برنجی
۲	۱	واشر برنجی
۱۰	۳	واشر برنجی
۴	۲	مفتول مسی
۲	۰۵	ورقه مسی
۳	۱	فولاد ضد زنگ
۱۶	۱۵	فولاد ضد زنگ
۲۲	۲۵	فولاد ضد زنگ
۴۳	۳	فولاد ضد زنگ

جدول ۴ – نمونه‌های سوراخکاری با لیزر نئودیمیوم

در آزمایش‌های فوق حداقل قطر سوراخ بدست آمده در حدود ۵۰ میکرون می‌باشد. بمنظور مطالعه بیشتر در مورد کیفیت سوراخهای بدست آمده و شکل هندسی آنها آزمایش‌های گوناگون با عدسیهای مختلف و همچنین تغییر دقیق فاصله عدسي از سطح یک ورقه فولاد ضد زنگ بضخامت ۱ میلیمتر انجام گرفت. قطر منافذ ورودی و خروجی سوراخهای بدست آمده بوسیله میکروسکوپ دقیقاً "اندازه‌گیری و کیفیت جدارهای سوراخ" مورد مطالعه قرار گرفت.

در مقایسه سوراخهای بدست آمده با دو عدسي همگرا با فواصل کانونی ۳۰ و ۲۵۰ میلیمتر و با قرار دادن سطح کار در نقطه کانونی نتایج زیر بدست آمده است:

۱ - در سوراخ ورودی همواره مقداری مواد مذاب بصورت قطرات ریز و مدور در کار لبدهای سوراخ وجود دارند. مقدار این قطرات به فاصله کانونی عدسي و تعداد ضربان

لیزر بستگی دارد و فواصل کانونی کوچکتر و تعداد ضربان کمتر از اینجهت برتری دارند.

۲ - شکل سوراخ از نظر دایره‌ای بودن بستگی به دقیق تنظیم آئینه‌های لیزر دارد و برای دستیابی به سوراخهای کاملاً "گرد" این تنظیم باید با دقیق زیاد انجام گرفته و مرتب "کنترل شود".

۳ - برای جلوگیری از اصابت مواد مذاب که از سطح کار جدا شده بطرف عدسی فوران می‌کند استفاده از یک سطح شفاف (پلاستیکی، نایلونی یا شیشه‌ای) در مقابل عدسی الزامیست زیرا در غیر اینصورت عدسی بسرعت خراب می‌شود. سطح مذکور باید دارای خواص اپتیکی خوبی باشد تا در ابعاد و شکل نقطه کانونی ایجاد انحراف و ابیراهی نکند. در این آزمایشها از یک ورقه نازک و شفاف میکا در برابر عدسی استفاده شد که پس از هر صد ضربه لیزر تعویض می‌گردید.

کنترل دقیق قطر سوراخ بوسیله تغییر فاصله عدسی و سطح کار انجام می‌گیرد. در این رابطه آزمایشاتی با عدسی با فاصله کانونی ۳۰ میلیمتر بروی ورقه فولاد ضد زنگ بضمایمت ۱ میلیمتر بشرح زیر انجام گرفت:

۱ - فاصله عدسی و سطح کار در یک منطقه بطول $\Delta x = 3/5 \Delta$ میلیمتر در اطراف نقطه کانونی با فواصل ۵ ره میلیمتر تغییر داده شد (x منفی : نقطه کانونی بطرف قطعه، $0 = x$: نقطه کانونی بروی سطح کار، x مثبت : نقطه کانونی بیرون از قطعه)

۲ - در هر فاصله اصابت ضربان لیزر آنقدر ادامه داده شد تا سوراخ تکمیل گردد.

۳ - قطر سوراخ‌های ورودی و خروجی بدست آمده بامیکروسکپ اندازه‌گیری شد.

۴ - زاوید راس سوراخ با توجه به رابطه $\alpha = \frac{a-b}{2d}$ که در آن a قطر بزرگتر و b قطر کوچکتر و d ضمایمت قطعه (۱ میلیمتر) است محاسبه شد.

نتایج بدست آمده در جدول ۵ آمده است:

زاویه راس (درجه)	تعداد ضربان لیزر	قطر خروجی (میکرون)	قطر ورودی (میکرون)	x (میلیمتر)
۲۱	۲۴	۵۰	۴۱۰	-۲
۷۵	۸	۲۵	۳۸۰	-۱۵
۱۱۲	۶	۸۵	۲۸۰	-۱
۱۱۵	۴	۷۵	۲۷۵	۵۰
۵۷	۳	۱۵۰	۲۵۰	۰
۴۳	۴	۱۵۰	۲۲۵	۵۰
۷۴	۸	۱۷۰	۳۰۰	۱
۴۴	۲۰	۳۰۰	۳۸۰	۱۵

جدول ۵ - تغییر اندازه و مشخصات سوراخ با فاصله عدسی تا سطح کار

از نتایج بدست آمده مشاهده می شود که اندازه سوراخ با تنظیم دقیق فاصله عدسی تا سطح کار قابل تغییر است و بدین ترتیب می توان سوراخ را باندازه دلخواه بروی سطح کار تعبیه کرد. البته باید توجه داشت که عمق سوراخ (یا ضخامت قطعه) باید در حدود عمق تمرکز (رابطه ۱۵) باشد زیرا در غیر اینصورت زاویه راس سوراخ از مقدار قابل قبول تجاوز خواهد کرد.

شکل ۶ دقت روش سوراخکاری با لیزر را بروی جداره، یک سوزن بقطر عرضه میلیمتر نشان می دهد.

۳-۳ کاربرد سوراخکاری با لیزر در یکی از کارخانجات صنعتی داخلی یکی از کاربردهای سوراخکاری با لیزر در ایجاد سوراخهای مناسب بروی صفحات دوش مانند کارخانجات تولید الیاف مصنوعی (پلی اکریل - پلی استر یا پشم شیشه) می باشد. مشخصات فنی قطعه مورد نیاز که در کارخانجات پلی اکریل ایران مورد استفاده قرار می گیرد در شکل ۴ آمده است. صفحات مورد نظر از فولاد ضد زنگ استنتیک (Austenitic) نوع L 304 یا 321 با حدود ۱۸٪ کرم و ۱۰٪ نیکل می باشد (۸). این صفحات پس از برش و تراشکاری با وسائل مکانیکی معمولی جهت انجام سوراخکاری در اختیار این گروه گذاشته شد. در مرحله اول، جهت ایجاد قسم قطور سوراخ بضخامت عرضه ۱ میلیمتر و زاویه راس ۶۰ درجه، از متدهای مکانیکی استفاده شد، بطوری که ۱۵ میلیمتر از ضخامت صفحه جهت ایجاد سوراخ لیزری باقی گذاشته شد، در مرحله دوم سوراخهای لیزری به قطر ۳۸۰ میکرون در مرکز سوراخ قبلی به کمک لیزر یاقوت ایجاد گردید. از آنجا که سوراخ لیزری باید در عمق استوانهای به عمق حدوداً ۹ میلیمتر و دهانه عرضه ۱ میلیمتر تعبیه گردد و قطر پرتو ورودی لیزر یاقوت حدوداً ۱۵ میلیمتر می باشد، فاصله کانونی عدسی مورد نیاز باید از ۸ سانتیمتر بیشتر باشد. در عمل پساز در نظر گرفتن عدسه های مختلف از یک عدسی از جنس شیشه اپتیکی 7-BK با فاصله کانونی ۱۰۰ میلیمتر و قطر ۱۵ میلیمتر که جهت تمرکز اشعه لیزر یاقوت و به حداقل رسانیدن ابیراهی کروی در این طول موج طرح شده است (۷) استفاده شد. جهت ایجاد سوراخ با قطر مورد نظر ابتداء یک ورقه فولاد ضد زنگ از جنس مشابه و به ضخامت ۰.۵ میلیمتر در برابر عدسی و در جهت عمود بر پرتوی لیزر قرار داده می شود و با تغییر فاصله آن نسبت به عدسی فاصله لازم برای ایجاد سوراخ بقطر ۳۸۰ میکرون بدست می آید. سپس یک میکروسکپ با بزرگنمایی ۵۰ در پشت قطعه قرار داده و آنرا طوری تنظیم می کنیم که تصویر سطح پشتی صفحه بوضوح در میکروسکپ دیده شود. گلیه قطعات اپتیکی و لیزر و عدسی و جایگاه قطعه کار و میکروسکپ همگی بروی ریلهای اپتیکی بطريقی محکم می شوند که نکان نخورده فواصل مذکور که با دقت زیاد تنظیم می شوند در طول زمان تغییر نکنند. سپس بکمک یک لیزر هلیوم نئون که کامل " منطبق بر پرتوی لیزر

یاقوت تنظیم شده است نقطه تمرکز عدسی را در مرکز سوراخ متداول (قطر عرض ۱ میلیمتر) تنظیم و لیزر یاقوت را برای میاندازیم. پس از حدود ۱۵ ضربه لیزر سوراخ تکمیل می‌گردد و می‌توان به کمک میکروسکپ کیفیت آن را مورد مطالعه قرار داد. سپس قطعه کار را به صورت موازی با سطح خود جابجا می‌کنیم تا سوراخ بعدی در محل مورد نظر قرار گیرد. مجدداً فاصله آن با عدسی (که بوسیله وضوح تصویر سطح پشتی در میکروسکپ تعیین می‌گردد) و عمود بودن سطح آن نسبت به پرتو لیزر (که به کمک یک لیزر هلیوم نئون کمکی دیگر مشخص می‌شود) کنترل می‌شود. سپس لیزر یاقوت را مجدداً "برای میاندازیم. بدین ترتیب ۸ صفحه ۳۴ سوراخه با سرعت متوسط ۲۵ دقیقه برای هر سوراخ (۱۵ دقیقه برای سوراخ متداول) ساخته شد و در اختیار کارخانه مذکور قرار داده شده است.

لازم به تذکر است که طول زمان قید شده اولاً "مولود دقت بسیار زیاد بیست که برای انجام مونقیت آمیز طرح مورد نظر لازم است و ثانیاً" بستکی به دستگاه مورد استفاده دارد. دستگاه لیزر یاقوت که برای انجام این منظور مورد استفاده قرار گرفت یک دستگاه تحقیقاتی می‌باشد و چنانچه در قسمت ۴ نیز بدان اشاره خواهیم کرد استفاده گسترده از آن در کاربردهای صنعتی غیرممکن می‌باشد.

در شکل (۵) تابع توزیع قطرهای ۳۴ سوراخ یکی از قطعات ساخته شده و همچنین انحراف از گرد بودن بصورت مقدار تفاوت بین قطر بزرگ و کوچک هر سوراخ (۸) نشان داده شده است. میانگین قطر سوراخها 375 میکرون و انحراف معیار (Standard Deviation) آن 35 میکرون می‌باشد. همچنین برای %۸۰ سوراخها $350 < \theta < 400$ می‌باشد درنتیجه می‌توان گفت که از نظر آماری دقت روشهای عملی بکار گرفته شده $\approx 9\% = 350/375$ است.

۴- مقایسه با تئوری و نتیجدهایی

در این قسمت پارهای از نتایج بدست آمده مورد بررسی قرار گرفته با تئوری قسمت ۲ مقایسه می‌گردد و سپس یک نتیجدهایی کلی نیز ارائه می‌گردد.

۱-۴ مقایسه با تئوری
قطر پرتوی لیزر یاقوت قبل از اصابت بد عدسی در حدود $b = 9 \text{ میلیمتر}$ می‌باشد. این قطر در فاصله $D = 14 \text{ متر}$ در حدود $L = 7 \text{ متر}$ می‌باشد. میلیمتر اندازه‌گیری شده است. درنتیجه می‌توان زاویه واگرائی را بطريق زیر محاسبه نمود (۳) :

$$\theta = \frac{D-b}{2L} = \frac{14-9}{2 \times 7500} = 3/3 \times 10^{-4} \text{ رادیان}$$

با استفاده از عدسی با فاصله کانونی $f = 100 \text{ میلیمتر}$ و رابطه (۱۲) می‌توان قطر نقطه

کانونی را حساب نمود:

$$a = 2f\theta = 200 \times 3 / 3 \times 10^{-4} \text{ میکرون}$$

چنانچه سطح کار را آنقدر عقب ببریم که قطر پرتو لیزر بروی آن به حدود مقدار دلخواه (۴۰۰ میکرون) برسد، سطح مورد نظر عبارتست از:

$$A = \frac{\pi a^2}{4} = 1 / 25 \times 10^{-3} \text{ cm}^2$$

اکنون با استفاده از رابطه (۷) می‌توان عمق سوراخ را از نظر تئوری تخمین زد: ضرایب فیزیکی فولاد ضد زنگ نوع ۳۰۴ به قرار زیر می‌باشد:

$$\text{چگالی } C = 11 \text{ Ca1/gr} \quad \rho = 7.9 \text{ gr/cm}^3 \quad \text{گرمای ویژه}$$

$$\text{درجه تبخیر } L_v = 2200 \text{ C} \quad \text{گرمای نهان تبخیر}$$

در استفاده از رابطه (۷) باید توجه داشت که $\int_0^\infty I(t)dt = \frac{E}{A}$ که در آن E کل انرژی لیزر در یک ضربان می‌باشد. در نتیجه

$$d = \frac{E}{A \rho (L_v + CT_v)} \text{ میلیمتر} \quad 7.9 =$$

بنابراین در هر ضربان لیزر به انرژی ۱ ژول سوراخی به عمق ۷ میلیمتر ایجاد می‌گردد و برای تکمیل سوراخ به عمق ۵۰ میلیمتر حدوداً "۳ ضربه لیزر (از نظر تئوری) لازماست. در عمل ضخامت مذکور با ۷ الی ۱۰ ضربه لیزر سوراخ می‌شود. تفاوت مذکور ناشی از محدودیتهای مدل تئوری می‌باشد و جهت نیل به نتایج دقیقتر باید یک مدل دو بعدی که انتقال گرما از جدارهای سوراخ را نیز شامل شود و همچنین مقدار انرژی انعکاسی از سطح فلز در نظر گرفته شود.

۲-۴ نتیجه‌گیری

بطور خلاصه در این مقاله برای اولین بار در ایران روش‌های تجربی برش و سوراخکاری با لیزر مورد مطالعه قرار گرفته و یک مدل تئوری ساده جهت درک اصول فیزیکی زیربنائی این تکنیکها نیز ارائه شده است. نتایج تحقیقاتی بدست آمده عملاً "در ساخت نمونهای اولیه قطعاتی که جهت تولید الیاف مصنوعی در کارخانجات پلی اکریل اصفهان مسورد استفاده قرار می‌گیرند، بکار گرفته شده است. این نتایج نشان می‌دهد که در بسیاری از موارد، استفاده از برش و سوراخکاری با لیزر الزامیست زیرا هیچیک از روش‌های مکانیکی

معمول نادر به حصول بد نتایج مورد نیاز نمی باشد.

تکنیکهای لیزری در مقایسه با روش‌های دیگر برش و سوراخکاری یا جوشکاری از مزایای زیر برخوردار می باشد:

۱- در اکثر قریب به اتفاق موارد، کار در هوای معمولی و در فشار اتمسفر انجام می‌کرد و احتیاجی به خلا، نیست در حالیکه عنوان مثال در جوشکاری با اشعد الکترون احتیاج به خلا، می باشد.

۲- نطعه کار با هیچکونه ابزاری تماس حاصل نمی‌کند و مسائلی چون کند شدن اره یا تکش سند و از بین رفتن الکترودهای جوشکاری وجود ندارد.

۳- مواد سخت و شکننده مثل سرامیکها براحتی با لیزر برش داده یا سوراخ می‌شوند همچنان لیزر قادر است برخی فلزات که بخارتر خواص گرمائی مختلف بهم جوش نمی‌خورند را بد یکدیگر متصل سازد.

۴- ابعاد سوراخهای بدست آمده بسیار کوچک می باشد.

۵- عملیات بسرعت انجام می‌گیرد، طول زمانی متوسط کار با هر قطعه در حدود یک‌هزار ثانید است.

۶- استفاده از لیزر انجام عملیات بصورت اتوماتیک و در نتیجه دستگاهی به سرعت‌های بیشتر را ممکن می‌سازد.

۷- نقاط بسیار دقیق و غیرقابل دسترسی را می‌توان با لیزر به آسانی سوراخ کرد.

۸- شدت بر واحد سطح که با این روش بدست می‌آید از هر روش دیگری بیشتر است. روش برش و سوراخکاری با لیزر همچنین دارای عیوب و محدودیتهای زیر می‌باشد:

۱- عمق نفوذ هر ضربه لیزر محدود است، هرچند با تکرار ضربان می‌توان به عمق دلخواه دست یافت.

۲- مواد مذاب بروی جدارهای داخلی و لبه سوراخ بصورت قطرات ریز منجمد شده ایجاد ساهمنواری می‌کند.

۳- سطح مقطع سوراخ کاملاً "گرد" نیست و غالباً "سوراخ در سطح ورودی از سطح خروجی بزرگ است. کنترل اندازه و دقت سوراخها مشکل می‌باشد.

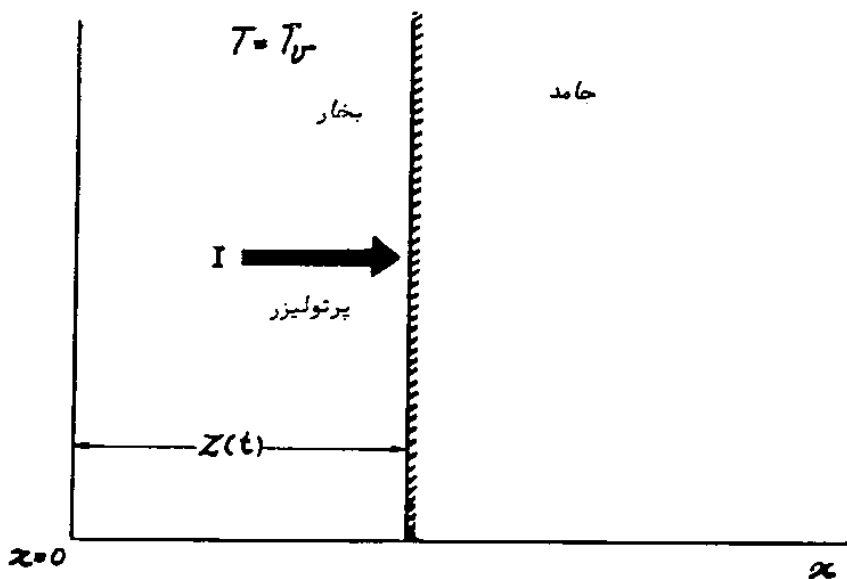
۴- در جوشکاری با لیزر مقادیر فیزیکی مختلف باید بدقت کنترل شوند تا از تبخیر سطح حلوقگری بعمل آید.

۵- از پطر افتخاری، روش لیزر غالباً "گرانتر از تکنیکهای دیگر است.

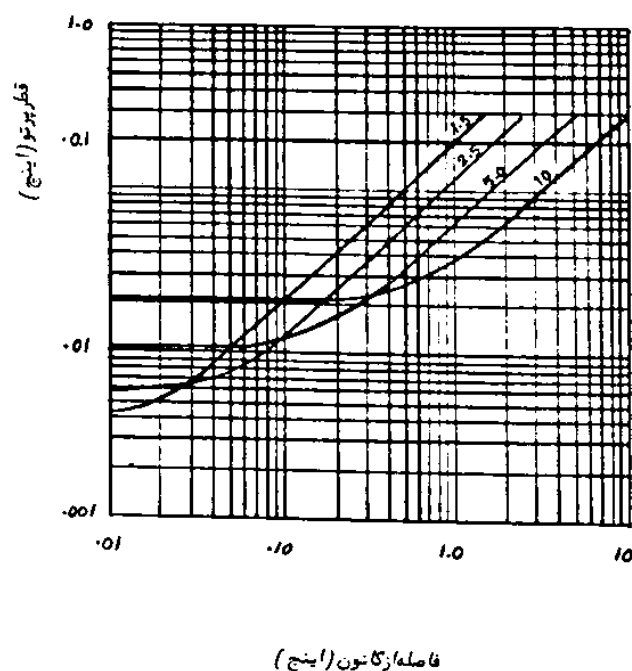
در هر کاربرد بخصوص باید با توجه به مزایا و محدودیتهای بالا نسبت به انتخاب روش مطلوب اتخاذ تصمیم نمود.

تجربیات مشروح در این مقاله نشان می‌دهد که دستگاههای موجود قادر به جوابگوئی سائل برش و سوراخکاری با لیزر در یک بعد صنعتی نمی‌باشند. چنانچه قبل از نیز متذکر

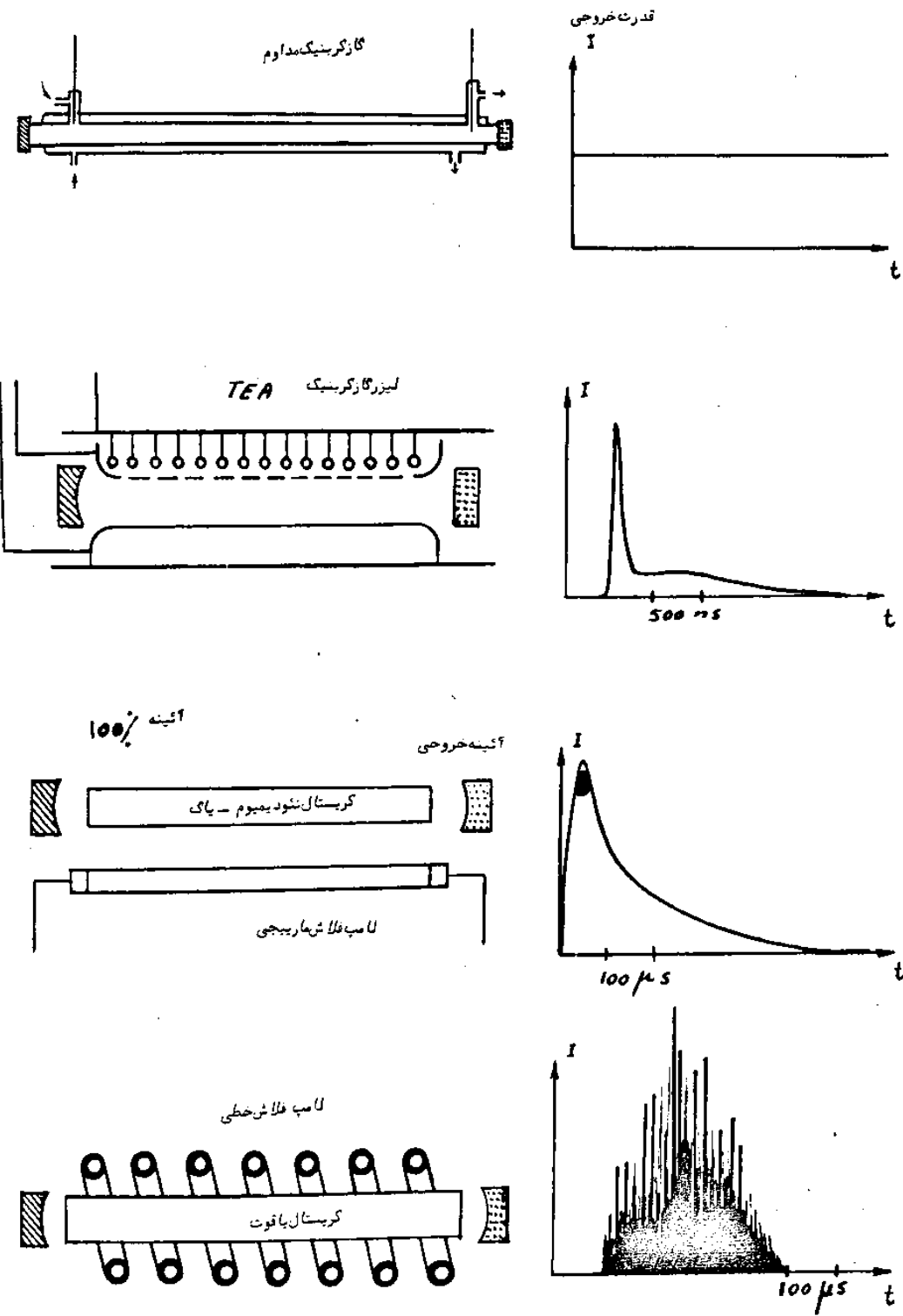
شدیم این دستگاهها تحقیقاتی بوده جهت مصارف صنعتی ساخته نشده‌اند. لذا استفاده از آنها در اینگونه مصارف کاربردی مستلزم صرف وقت بسیار زیادیست که از نظر اقتصادی مفروض به صرفه نمی‌باشد. گسترش همه جانبیه تکنولوژی لیزر در مصارف صنعتی مستلزم ساخت یا خرید دستگاههای لیزر مناسب که بتوانند جوابگوی حجم زیاد کار باشند می‌باشد. بعنوان مثال شرکت پلی اکریل ایران به تنهایی خواستار انجام ۱۷۰۰۰ سوراخ در مرحله اول و ۲۵۰۰ در مرحله دوم و احتمالاً "تعداد بیشتری در مراحل بعدی می‌باشد و این تعداد تنها مربوط به یکی از کارخانجات تولید الیاف مصنوعی در ایران می‌باشد. دو الی سه کارخانه دیگر نیز احتمالاً "خواستار حجم مشابه یا بیشتری می‌باشد. به حال این حجم کار هر سه الی چهار سال بعلت فرسودگی و از بین رفتن صفحات تکرار می‌شود. در خاتمه باید یادآوری کرد که کاربرد مذکور فقط یکی از کاربردهای سوراخکاری با لیزر بوده در صنایع دیگر نیز گسترش این تکنولوژی جهت نیل به خودکفایی صنعتی مورد نیاز می‌باشد.



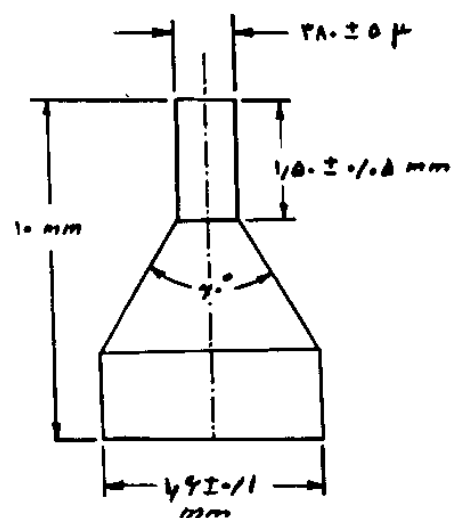
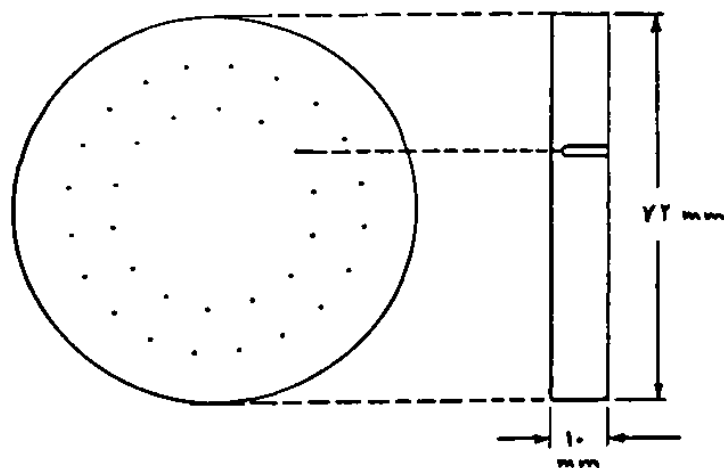
شکل ۱ - مشخصات هندسی مدل تئوری فیزیکی جهت بررسی برش و سوراخکاری با پرتوی لیزر.



شکل ۲ - قطر پرتوی لیزر در تمرکز بوسیله عدسی با فاصله کانونی ۱۰، ۵، ۲۵، ۵۰، ۱۰۰ اینچ برحسب فاصله از کانون عدسی. رابطه بین عمق تمرکز و قطر نقطه کانونی در این شکل نشان داده شده است (ماخذ ۵).

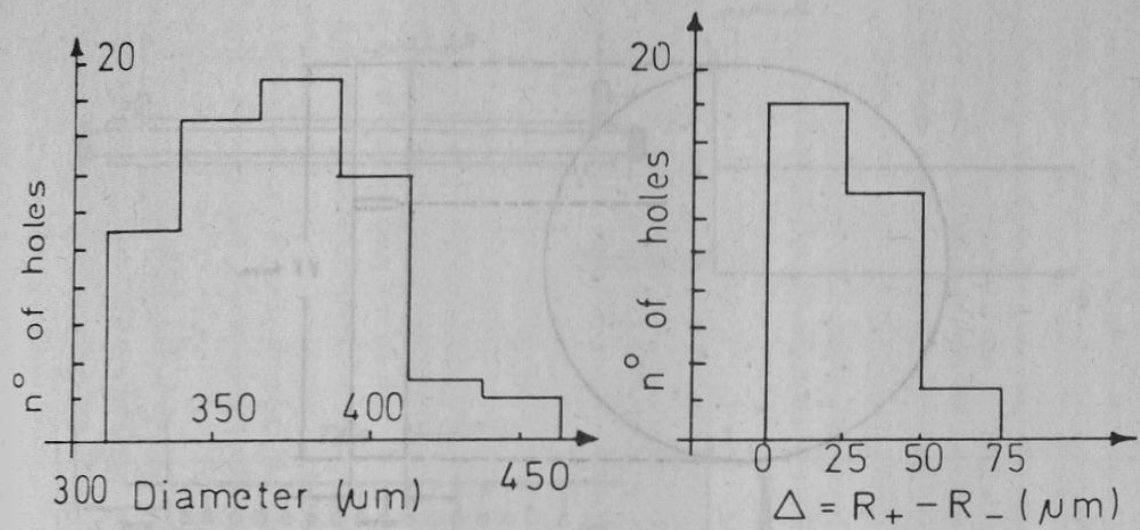


شکل ۳- چهار نوع مختلف لیزر که در مقاله حاضر مورد استفاده قرار گرفته‌اند و نمونه‌ای از خروجی هر کدام (سمت راست) به ترتیب از بالا به پائین: لیزر گازکربنیک مداوم - لیزر گازکربنیک ضربانی TEA با تخلیه عرضی - لیزر نئودیمیوم یاگ - لیزر یاقوت .

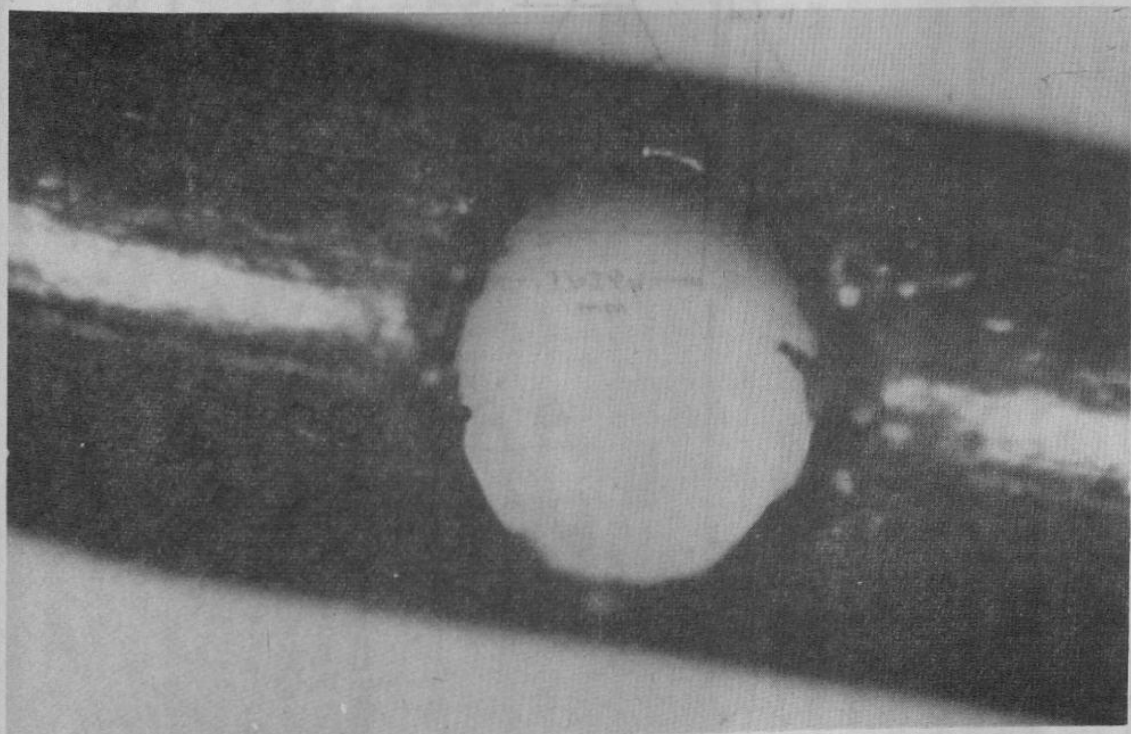


شکل ۴

شکل ۴- مشخصات هندسی قطعه کار مورد نیاز یکی از کارخانجات داخلی که با استفاده از تکنولوژی سوراخکاری با لیزر ساخته شده است.



شکل ۵-تابع توزیع قطرهای ۳۴ سوراخ یکی از قطعات ساخته شده و انحراف از گردی صورت مقدار تفاوت Δ بین قطر بزرگ و کوچک هر سوراخ.



شکل ۶- نمونهٔ سوراخکاری بروی سوزن به قطر عرضهٔ میلیمتر. قطر سوراخ: ۱۰+۲۰ میکرون

فهرست منابع و مأخذ:

1. مرکز تحقیقات هسته‌ای - سمینار انرژی‌های نو - ۱۳۶۲ و ۱۳۶۱
2. Industrial Applications of Lasers, J.F. Ready, Academic Press, 1978.
3. Lasers in Industry, S.S. Charschan (editor), Van Nostrand Reinhold Company, 1972.
4. An Introduction to Lasers and Maser, A.E. Siegman, McGraw-Hill, 1971.
5. Industrial Lasers and Their Applications, J.E. Harry, McGraw & Hill, 1974.
6. Lasers, Operation, Equipment, Application and Design, Coherent Inc. Staff, McGraw and Hill, 1980.
7. Optics Guide, Melles Griot Company, 1975.
8. An Introduction to Stainless Steel, J.G. Parr and A. Hanson, American Society of Metals, 1971.

LASER CUTTING AND DRILLING: THEORY AND EXPERIMENTS

S.M.Hamadani, F.Soltanmoradi, M.H.Marvasti

M.T.Tinati

Nuclear Research Center
Atomic Energy Organization of Iran
P.O.Box 3327 Tehran-Iran

Abstract

The Laser Group of Nuclear Research Center has had considerable activity in the area of applications of laser technology in industry. This activity is the result of numerous industrial applications presented to this division concerning precise cutting and drilling with lasers. In many cases considered, classical techniques were not able to satisfy the precise microscopic tolerances. Optical and laser techniques were therefore suggested to solve these problems. In the present paper, after a general introduction and theoretical considerations presented in sections 1 and 2, experimental techniques and results are given in section 3, together with a case study of a laser application in a local industry that has been successfully undertaken and solved by this group. In section 4 an analysis of the experimental results with reference to theory, general conclusions on the limitations of the technique, and methods to overcome these limitations in future are presented.